



УДК 577.213.7;577.218

ЭКСПРЕССИЯ СИНТЕТИЧЕСКОГО ГЕНА ИНТЕРЛЕЙКИНА-10 ЧЕЛОВЕКА И ЕГО ВАРИАНТОВ В КЛЕТКАХ *Escherichia coli*

© 1998 г. Л. Р. Птицын[#], И. Б. Альтман, М. В. Гуров*

Государственный научный центр ГосНИИ “Генетика”,
113545, Москва, 1-й Дорожный пр., 1;

*НТЦ “Лекбюотех”, АО “Биотехнология”, Москва

Поступила в редакцию 21.04.97 г. Принята к печати 09.09.97 г.

Химико-ферментативным путем синтезирован ген интерлейкина-10 (IL-10) человека. Получены векторы для цитоплазматической и периплазматической экспрессии гена рекомбинантного IL-10 в клетках *Escherichia coli*. С помощью *in vitro*-мутагенеза получена серия генов IL-10, несущих замены нуклеотидов в районе, предшествующем ATG-кодону, а также обеспечивающих замену второго аминокислотного остатка в последовательности белка IL-10. Показано, что высокий уровень биосинтеза целевого белка имеет место в рекомбинантных штаммах, продуцирующих IL-10 в виде “слипшего” белка (с N-концевым фрагментом IL-3), а также в штаммах, продуцирующих мутантный вариант IL-10, содержащий остаток цистеина в качестве второго аминокислотного остатка.

Ключевые слова: интерлейкин-10, синтез гена, экспрессия мутантных вариантов, штамм-продуцент.

Интерлейкин-10 (IL-10) был впервые обнаружен как продукт хелперных Т-клеток мыши типа 2 (Th2) и сначала получил название “фактор – ингибитор синтеза цитокинов” (cytokine synthesis inhibitory factor – CSIF) в связи со своей способностью ингибировать синтез ряда цитокинов (таких, как γ -интерферон, интерлейкин-2, интерлейкин-3, фактор некроза опухолей, колониестимулирующий фактор гранулоцитов и макрофагов) хелперными Т-клетками типа 1 (Th1) [1, 2]. Последующие исследования показали, что продукция IL-10 осуществляется активированными Т-, В-клетками, кератиноцитами и моноцитами/макрофагами [3]. Интерлейкины-10 как мыши, так и человека проявляют множественные биологические активности, в частности: стимулируют пролиферацию и дифференциацию В-клеток человека [4], тимоцитов мыши, Т-клеток [5], тучных клеток [6], регулируют биосинтез главного комплекса гистосовместимости (МНС) II класса В-клетками мыши [7]. Для IL-10 мыши показано наличие клеточного рецептора (IL-10R), относящегося к классу II (группа рецепторов, подобных рецептору интерферона) семейства цитокиновых рецепторов [8]. Предполагается, что в связи с наличием иммунорегуляторных свойств IL-10 будет иметь широкое клиническое применение, в частности при разнообразных аутоиммунных заболе-

ваниях, а также как потенциальное противовоспалительное средство [2].

В данной работе нами был получен синтетический ген *il-10* человека и исследована возможность его экспрессии в клетках *E. coli* с использованием нескольких экспрессионных систем. Структура искусственного гена *il-10* основана на опубликованной аминокислотной последовательности белка IL-10 [9] с учетом встречаемости кодонов в клетках *E. coli* [10], а также с учетом введения в последовательность ДНК сайтов рестриктаз, необходимых для последующего химико-ферментативного синтеза гена и его клонирования. Для конструирования синтетического гена *il-10* человека и несущих ген экспрессионных векторов были синтезированы 30 олигонуклеотидов, структура которых приведена в табл. 1. Для получения вариантов гена *il-10*, содержащих вырожденную последовательность ДНК в нетранслируемом участке, прилежащем к ATG-кодону, а также обеспечивающих замену второй аминокислоты в структуре белка и все возможные варианты кодонов для 3-го, 4-го и 5-го аминокислотных остатков, были синтезированы олигонуклеотиды *var1* и *var2* (табл. 1).

Наличие в нуклеотидной цепи гена сайтов рестриктаз *NcoI*, *KpnI*, *PstI*, *HindIII* позволило осуществить его синтез путем последовательной сборки трех блоков (см. рис. 1). Три варианта первого блока (каждый из них состоял из соответствующей пары олигонуклеотидов: *ilnn1*, *ilnn2*; *ilf1*, *ilf2*; *ili1*, *ili2*) содержали последовательности ДНК (1–17),

Сокращения IL и *il* – интерлейкин и его ген; IPTG – изо-пропил- β -D-тиогалактозид; SD – последовательность Шайна – Дальгарно; RBS – участок связывания рибосомы.

[#]Автор для переписки.

Таблица 1. Олигонуклеотиды, синтезированные для конструирования гена интерлейкина-10 человека

Олигонуклеотид	Последовательность (5' → 3')
iIn1	CCAGTCTGAGAACTCTGCACTCACTTCCC GGTAACCTGCCAACATGC
iIn2	T GCGCGACCTGCGCAGCGTTCTCGCGTTAAGACTTCTTCAGATGA
iIn3	A AGACCAGCTGGACAACCTGCTGCTAAAGAATCTCTGCTCGAAGACTT
iIn4	C AAAGGTTACCTGGGTGCCAGGCTCTGTCTGAAATGATCCAGTTCTAC
iIn5	CTGGAAGAAGTTATGCCGCAGGCTGAGAACCCAGGACCCGGACATCAAAGC
iIn6	T CACGTTAACTCTGGTGAAAACCTGAAAACCCCTGCGTCTGCGTCTGC
iIn7	G TCGCTGCCACC GTTCTGCCGTGCGAGAACAAATCCAAGCTGTTG
iIn8	A GCAGGTAAGAACGCATTCAACAAGCTGCA
iIn9	G CTTGTTGAATGCGTTCTTACCTGCTCAACAGCTTTG
iIn10	G ATTTGTTCTCGCACGGCAGGAAACGGTGGCAGCGACGCAGACCGCAG
iIn11	A CGCAGGGTTTCAGGTTTCA CCCAGAGAGTTAACGTGAGCTTGATGTC
iIn12	C CGGTCCTGGTTCTCAGCCTGCCGATAACTTCTTCCAGGTAGAACTGG
iIn13	A TCATTTCAGACAGAGCCTGCCAACCCAGGT AACCTTGAAGTCTTCG
iIn14	A GCAGAGATTCTTAAGCAGCAGGTTGCCAGCTGGTCTTCATCTGGAA
iIn15	G AAAGTCTAACCGAGAGAAAGCGTCGCGCAGGT CGCGCAGCATGTTC
iIn16	G GCAGGTTACCCGGGAAGTGAGTGCAAGAGTTCTCAGACTGGTAC
ilc1	GGAGAAAGGTATCTACAAAGCTATGCTGAATTGACATCTT
ilc2	CATCAACTACATTGAAGCATACATGACCATGAAAATCCGTAACATACATCCA
ilc3	A GCTTGGATGTTAGTTACGGATTTCATGGTCATGTATGCTTCAAT
ilc4	G TAGTTGATGAAGATGTCAAATT CAGACATAGCTTGTAGATACCTTCTCCTGCA
iInn1	CATGTCTCCAGGTCAAGGTAC
iInn2	CTTGACCTGGAGACAT
ilf1	A ATT CACAGATCTCCAGGTCAAGGTAC
ilf2	CTTGACCTGGAGAGATCTGTG
ili1	A GCTTCAACCGTGCTGTTAAATCTCTG
ili2	A ATT CAGAGATT AACAGCACGGTTGAA
ili3	A ATTTGCTCGAGATCGAAGGTAGA
ili4	TCTACCTTCGATCTCGAGCA
var1*	T NNNNNATG(T/A)(C/G)NCCNGGNCA(A/G)GGTAC
var2*	C (T/C)TGNCCNGGN(G/C)(A/T)CATNNNNNA

* N – любой из четырех возможных нуклеотидов в данной позиции.

кодирующие N-концевой фрагмент IL-10 (нумерация – в соответствии со структурой гена, приведенной на рис. 2). Второй блок, полученный при лигировании 16 олигонуклеотидов, представлял собой основной фрагмент гена *il-10* (18–395), кодирующий центральную часть белка. Третий блок содержал фрагмент гена *il-10* (396–480), кодирующий С-концевой фрагмент белка. Полученные фрагменты ДНК (блоки II и III) клонировали соответственно в векторы pUC18/*Kpn*I-*Pst*I и pUC18/*Pst*I-*Hind*III. Плазмиды pUC18-II и pUC18-III, содержащие правильные последовательности фрагментов гена *il-10*, использовали для конструирования плазмида pUCnc, несущей

основную часть гена *il-10* (18–480) (рис. 1). Фрагмент *Kpn*I-*Hind*III (471) плазмида pUCnc и соответствующие пары олигонуклеотидов, кодирующие N-концевую часть IL-10, использовали для конструирования всех экспрессионных векторов, содержащих полную последовательность гена зрелого белка IL-10 (рис. 2).

Два первых варианта экспрессионных плазмид (pKKIL-10 и pBTIL-10, рис. 3а) были получены путем клонирования полной последовательности гена (для этого *Kpn*I-*Hind*III-фрагмент плазмида pUCnc лигировали с олигонуклеотидами iInn1 и iInn2) в векторах pKK233-3/*Nco*I-*Hind*III и pBTIL-3/*Nco*I-*Hind*III [11]. Последний вектор со-

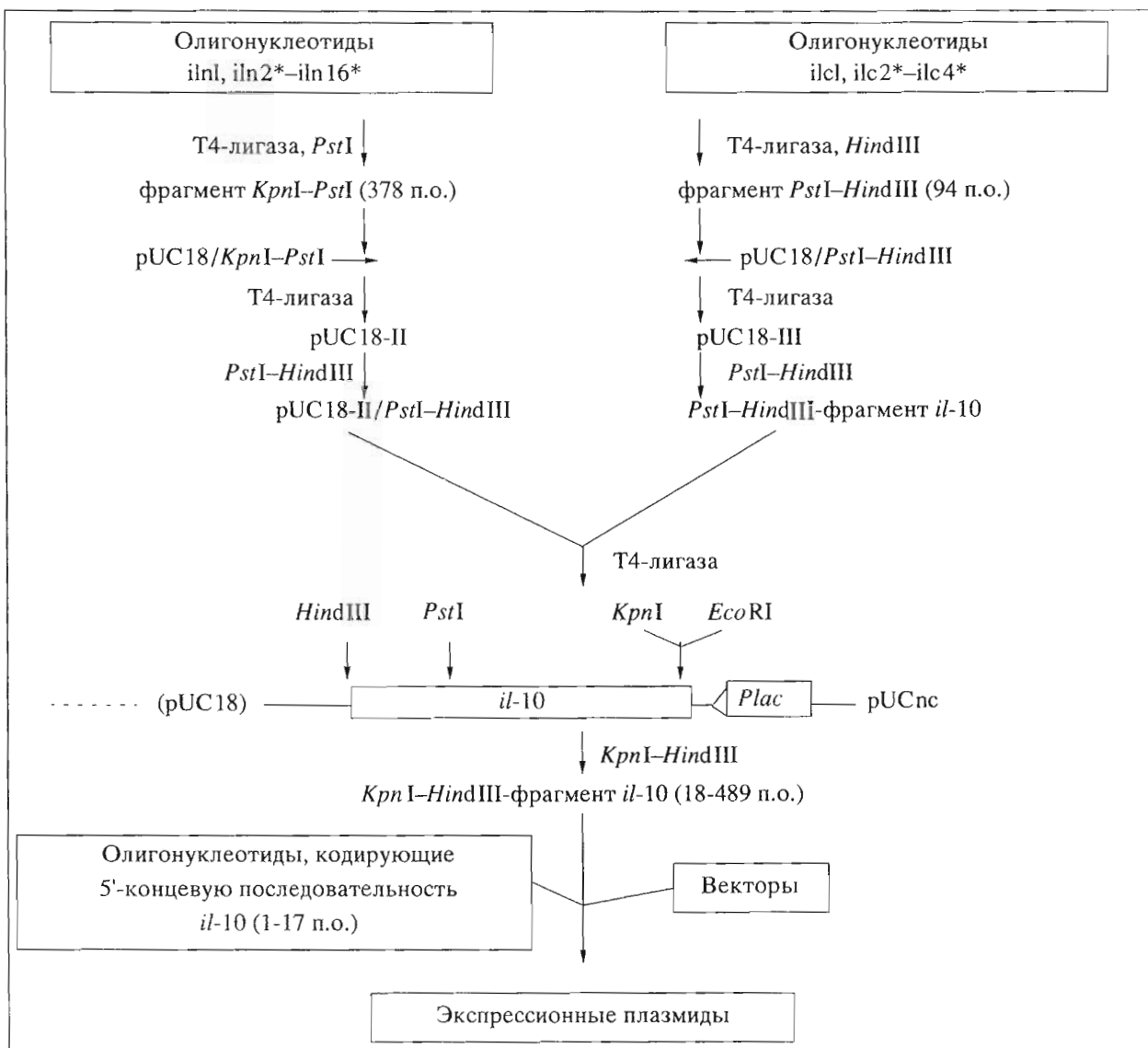


Рис. 1. Синтез гена *il*-10. Звездочкой помечены фосфорилированные олигонуклеотиды. Указаны экзонуклеазы рестрикции и их сайты в структуре полученных фрагментов; плазмида, образующиеся при промежуточном клонировании частей синтетического гена; использованные для синтеза олигонуклеотиды, структура которых приведена в табл. 1. Указаны длина синтетических фрагментов (п.о.) или их положение в гене в соответствии с нумерацией на рис. 2.

держал промотор *Plac*, два операторных участка связывания *lac*-репрессора, обеспечивающих более эффективную регуляцию промотора, и RBS гена белка 10 фага T7 – эффективный усилитель трансляции белка [12]. Однако уровень экспрессии гена рекомбинантного белка в клетках *E. coli* TG1, несущих данные плазмида, был очень низок и IL-10 не обнаруживался при SDS-электрофорезе суммарного клеточного белка (электрофорограммы не представлены). Попытка получения периплазматической продукции IL-10 с использованием гена *il*-10, слитого с геном лидерного пептида белка OmpF *E. coli* (*Kpn*I-*Hind*III-фрагмент

гена лигировали с олигонуклеотидами ilf1 и ilf2 и клонировали в векторе pBT-hEGF/*Eco*RI-*Hind*III [13], рис. 3б), также оказалась неудачной. Таким образом, несмотря на использование двух вариантов RBS при прямой цитоплазматической экспрессии и достаточно эффективного лидерного пептида при периплазматической экспрессии, мы не получили существенного уровня продукции IL-10. Данный факт может быть связан как с протеолитическим расщеплением синтезируемого белка, так и с особенностями структуры мРНК IL-10.

Как известно, структура 5'-нетранслируемой области мРНК в значительной степени влияет на

1	10	KpnI	20	30	40	50
*	*	↓	*	*	*	*
TCTCCAGGTCAAGGTACCCAGTCTGAGAACTCTGCACTCACTTCCC GGTAAC						
SerProGlyGlnGlyThrGlnSerGluAsnSerCysThrHisPheProGlyAsn						
60	70	80	90	100	110	
*	*	*	*	*	*	
CTGCCAACATGCTGCGCACCTGCGCGACGCTTCTCGCGTTAAGACTTCTTC						
LeuProAsnMetLeuArgAspLeuArgAspAlaPheSerArgValLysThrPhePhe						
120	130	140	150	160		
*	*	*	*	*		
CAGATGAAAAGACCAGCTGGACAACCTGCTGCTTAAAGAATCTCTGCTCGAAGACTTC						
GlnMetLysAspGlnLeuAspAsnLeuLeuLysGluSerLeuLeuGluAspPhe						
170	180	190	200	210	220	
*	*	*	*	*	*	
AAAGGTTACCTGGGTTGCCAGGCTCTGCTGAAATGATCCAGTTCTACCTGGAAGAA						
LysGlyTyrLeuGlyCysGlnAlaLeuSerGluMetIleGlnPheTyrLeuGluGlu						
230	240	250	260	270	280	
*	*	*	*	*	*	
GTTATGCCGCAGGCTGAGAACCGAGGACCCGGACATCAAAGCTCACGTTAACTCTTG						
ValMetProGlnAlaGluAsnGlnAspProAspIleLysAlaHisValAsnSerLeu						
290	300	310	320	330		
*	*	*	*	*		
GGTGAAAACCTGAAAACCCCTGCGTCTGCGTCTGCGTCGCTGCCACCGTTCTGCCG						
GlyGluAsnLeuLysThrLeuArgLeuArgLeuArgArgCysHisArgPheLeuPro						
340	350	360	370	380	390	PstI
*	*	*	*	*	*	↓
TGCGAGAACAAATCCAAAGCTGTTGAGCAGGTAAGAACGCATTCAACAAGCTGCAG						
CysGluAsnLysSerLysAlaValGluGlnValLysAsnAlaPheAsnLysLeuGln						
400	410	420	430	440	450	
*	*	*	*	*	*	
GAGAAAGGTATCTACAAAGCTATGTCGAATTGACATCTCATCAACTACATTGAA						
GluLysGlyIleTyrLysAlaMetSerGluPheAspIlePheIleAsnTyrIleGlu						
460	470	480		HindIII		
*	*	*		↓*		
GCATACATGACCATGAAAATCCGTAACTAACATCCAagctt						
AlaTyrMetThrMetLysIleArgAsn---						

Рис. 2. Структура синтетического гена и соответствующая аминокислотная последовательность зрелого белка IL-10 человека. Стрелками указаны сайты эндонуклеаз рестрикции.

уровень биосинтеза белка. Показано, что вовлечение нуклеотидов, формирующих последовательности RBS, и/или стартового кодона AUG в двухцепочечные участки вторичной структуры мРНК, как правило, приводит к снижению эффективности процесса биосинтеза [14, 15]. Для исследования влияния структуры 5'-нетранслируемой области мРНК, прилежащей к AUG-кодону, на уровень синтеза рекомбинантного белка 5'-концевой фрагмент гена *il-10* плазмида pBTIL-10 был заменен на фрагмент следующей структуры,

полученный при отжиге синтетических олигонуклеотидов var1 и var2:

TNNNNNN ATG (A/T)(G/C)N CCN GGN CA(A/G) GGT A~~C~~
ANNNNN TAC (T/A)(C/G)N GGN CCN G T(T/C) C

где N – любой из четырех нуклеотидов в данной позиции в последовательности гена.

Частичная рэндомизация (т.е. случайное встраивание в результат химического синтеза

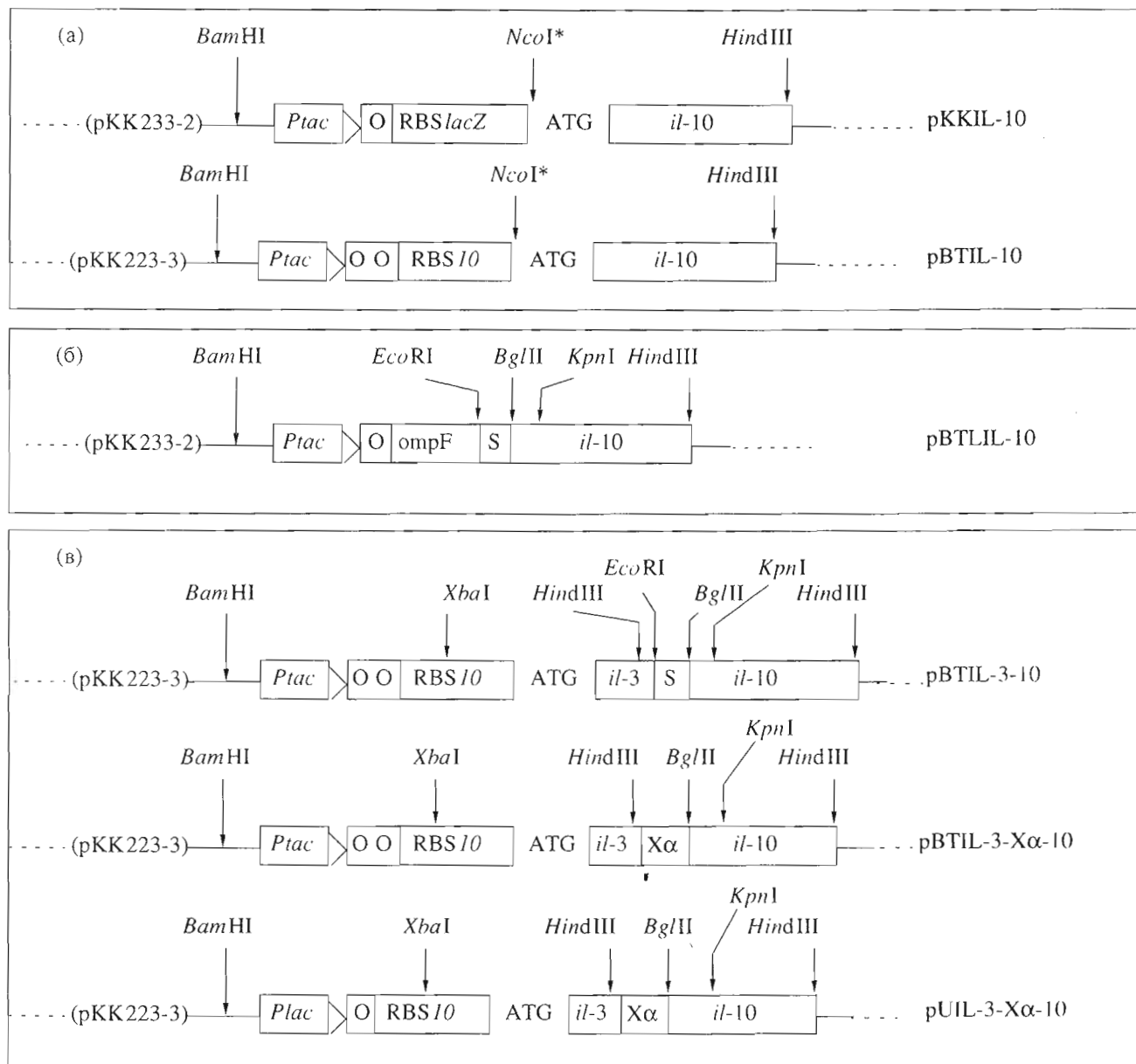


Рис. 3. Схемы плазмид, обеспечивающих экспрессию гена *il-10* человека. (а) – pKKIL-10, pBTIL-10; (б) – pBTLIL-10; (в) – pBTIL-3-10, pBTIL-3-X α -10, pUIL-3-X α -10.

P_{lac}, *P_{tac}*, *P_{trc}* – промоторы; О – операторный участок связывания *lac*-репрессора; RBS_{lacZ} и RBS₁₀ – сайты связывания рибосом гена *lacZ* и гена *T7*; ATG – стартовый кодон; *ompF* – фрагмент гена *ompF*, содержащий 5'-нептранслируемую последовательность и последовательность, кодирующую лидерный пептид белка OmpF *E. coli*; *il-3* – фрагмент (204 п.о.) гена интерлейкина-3; S – спайсерный участок ДНК, кодирующий последовательность аминокислот – Asn-Ser-Gln-Ile; *il-10* – ген интерлейкина-10 человека; X α – последовательность, кодирующая сайт расщепления для протеиназы X α (–Ile-Glu-Gly-Arg–). Штриховая линия – последовательность плазмид pKK233-3 или pKK233-2. NcoI* – утраченный сайт.

одного из возможных оснований в каждое конкретное место последовательности 5'-концевого участка гена между SD-последовательностью и кодоном шестой аминокислоты IL-10, как мы полагали, позволит получить структуры мРНК, более эффективные для инициации трансляции. Использование последовательностей (A/T)(G/C)N в

качестве кодона второй аминокислоты белка обеспечивало возможность синтеза мутантных вариантов IL-10, содержащих во второй позиции аминокислотные остатки Ser, Arg, Cys, Trp, Thr или терминирующий кодон UGA. Известно [16], что тип аминокислоты во второй позиции последовательности также может влиять на уровень

Таблица 2. Структура 5'-концевой области рекомбинантных плазмид pBTVarIL-10-n

Клон	Последовательность 5'-концевого фрагмента	Аминокислотный остаток в позиции 2	Наличие рекомбинантного продукта
pBTVarIL-10-1	tagacgATG TGA CCAGGGCAGGGT	stop	—
pBTVarIL-10-2	taggaaATG TGT CCGGGACAAGGT	Cys	+ (19 кДа)
pBTVarIL-10-3	tccattATG TGC CCAGGGCAGGGT	Cys	—
pBTVarIL-10-10	tgaccgATG TGA CCCGGTCAGGGT	stop	—
pBTVarIL-10-36	taaagaATG TCT CCTGGGCAGGGT	Ser	—
pBTIL-10 (исх.)	atatccATG TCT CCAGGTCAAGGT	Ser	—

продукции белка, а введение добавочного остатка цистеина может усиливать эффективность процесса формирования телец включения при синтезе рекомбинантного полипептида.

Серия плазмид pBTVarIL-10, содержащих варианты последовательности гена *il-10*, была получена при клонировании в векторе pBTIL-10/*Bam*HI-*Kpn*I фрагмента *Bam*HI-*Eco*RV плазмиды pTOTE2-IL-3 [17], несущего промотор *P_{tac}*, два *lac*-операторных участка и RBS гена белка 10 фага T7, а также смеси олигонуклеотидов var1 и var2.

Методом SDS-электрофореза мы анализировали уровень продукции рекомбинантного белка в 40 клонах штамма TG1(pBTVarIL-10). Было показано, что только один клон TG1(pBTVarIL-10-2) в присутствии IPTG продуцирует рекомбинант-

ный полипептид с молекулярной массой 19 кДа в виде телец включения; продукт составляет около 20% суммарного клеточного белка. В клоне TG1(pBTVarIL-10-3) при выращивании в присутствии IPTG данный полипептид не обнаруживался (табл. 2, рис. 4). Во всех остальных случаях также не наблюдалось образования существенных количеств рекомбинантных продуктов. Следует отметить, что рост пяти штаммов, в том числе и двух, описанных выше, существенно замедлялся в присутствии IPTG. Результаты секвенирования соответствующих фрагментов ДНК рекомбинантных плазмид, выделенных из этих клонов, представлены в табл. 2. Как видно, образование рекомбинантного белка (очевидно, в телецах включения) имеет место только в случае мутантного варианта, содержащего остаток Cys во втором положении.

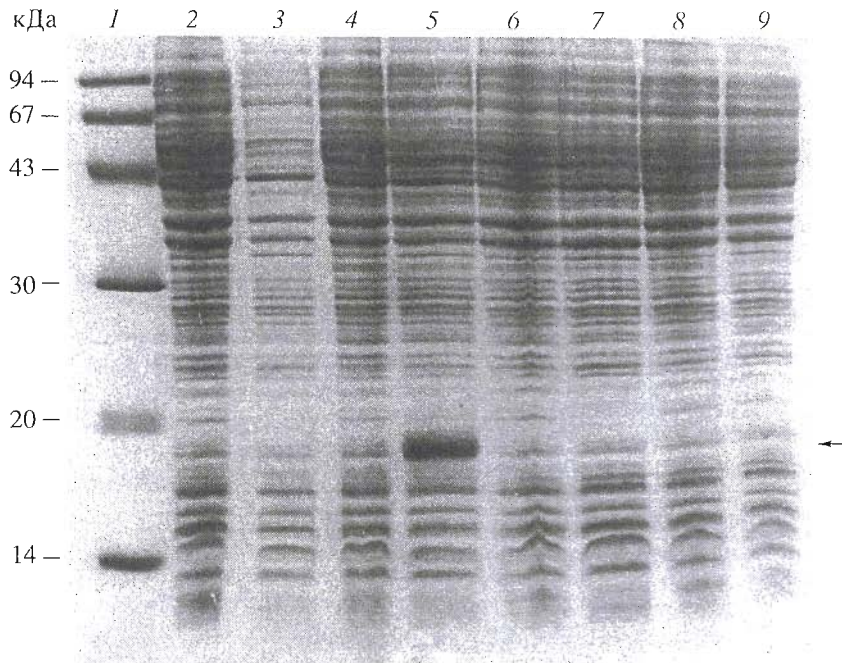


Рис. 4. Электрофорограммы препаратов суммарного клеточного белка штаммов *E. coli* TG1 (pBTVarIL-10-n), варианты 1 – 3, 36, выращенных в отсутствие (2, 4, 6, 8) и в присутствии IPTG (3, 5, 7, 9). 1 – маркеры молекулярных масс. Стрелкой указано положение целевого продукта.

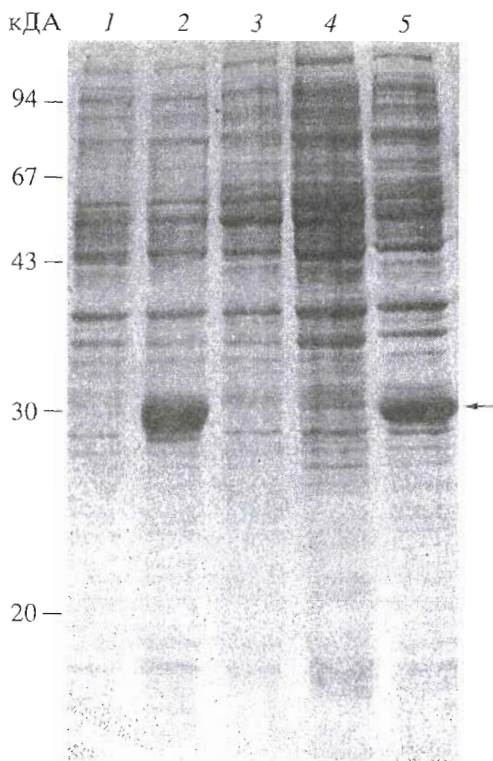


Рис. 5. Электрофореграммы препаратов суммарного клеточного белка штаммов *E. coli* TG1(pBTIL-3-Х α -10) (2, 3) и TG1(pUIL-3-Х α -10) (4, 5), выращенных в отсутствие (2, 4) и в присутствии IPTG (3, 5). 1 — штамм TG1(pKK223-3), использован в качестве контрольного препарата. Стрелкой указано положение целевого продукта. Слева указано положение маркеров молекулярных масс.

Анализ формирования вторичной структуры мРНК мутантных вариантов белка IL-10(Cys-2) показал, что для варианта, кодируемого плазмидой pBTVarIL-10-3, в отличие от pBTVarIL-10-2 характерно участие нуклеотидов последовательности SD и кодона AUG в формировании шпилечных структур, что может снижать эффективность трансляции мРНК (данные не представлены). Возможно, уменьшение скорости биосинтеза рекомбинантного белка замедляет процесс формирования телец включения и, как следствие, ведет к интенсивному протеолитическому расщеплению растворимой формы IL-10(Cys-2) цитоплазматическими протеиназами в штамме TG1(pBTVarIL-10-3). Следовательно, уровень продукции рекомбинантного белка в виде телец включения зависит как от структуры мРНК в районе кодона AUG, определяющей эффективность трансляции, так и от типа второго аминокислотного остатка в молекуле белка. Появление добавочного остатка Cys в белке способствует образованию телец включения. Следует подчеркнуть, что нами анализировалась лишь малая часть из теоретически возможных вариантов структур (более 50000 вариантов).

Как известно, в ряде случаев достаточно хорошие результаты могут быть достигнуты при экспрессии рекомбинантных полипептидов в виде “слитых” белков.

Ранее нами была получена рекомбинантная плазмида pBTIL-3 [11], обеспечивающая высокоэффективную экспрессию гена *il-3* человека. Сконструированная с использованием pBTIL-3 плазмида pBTIL-3-10 (рис. 3в) несет ген *il-10*, “слитый” с 5'-концевым фрагментом гена *il-3* (кодирующим N-концевой фрагмент IL-3 размером 69 а.о.) посредством спайсера, кодирующего фрагмент -Asn-Ser-Gln-Ile-. Штамм TG1(pBTIL-3-10) продуцирует рекомбинантный полипептид с молекулярной массой около 28 кДа, что соответствует размеру гибридного белка “фрагмент IL-3-IL-10”.

При изучении уровня продукции гибридного белка в зависимости от условий выращивания культуры было показано, что штамм продуцирует рекомбинантный полипептид в количестве около 30% суммарного клеточного белка при его выращивании в богатой среде при 37°C в условиях репрессии промотора *Ptac*. Увеличение уровня экспрессии гена гибридного белка путемdereпресии промотора *Ptac* (в присутствии IPTG) сопровождается гибеллю продуцирующих клеток, что в целом приводит к значительному уменьшению количества целевого продукта в культуре. Конститутивный синтез рекомбинантного продукта оказывает некоторый токсический эффект на штамм, что сопровождается снижением количества плазмидсодержащих клеток в культуре при ее продолжительном культивировании. Поэтому культуру необходимо поддерживать на минимальном агаре (без казаминовых кислот), содержащем 30 мкг/мл ампициллина, для обеспечения селекции клеток, эффективно продуцирующих гибридный белок.

Дальнейшая модификация данного экспрессионного вектора осуществлялась с целью, во-первых, введения фрагмента ДНК, кодирующего сайт расщепления протеиназы Х α , и, во-вторых, достижения регулируемой экспрессии гена рекомбинантного белка. Для этого фрагмент *EcoRI-BgIII* плазмида pBTIL-3-10 был заменен на последовательность, кодирующую сайт расщепления для протеиназы Х α (-Ile-Glu-Gly-Arg-), с использованием синтетических олигонуклеотидов il13 и il14 (рис. 3в). Штамм TG1(pBTIL-3-Х α -10) при выращивании в условиях репрессии промотора *Ptac* также обеспечивает достаточно высокий уровень продукции IL-10 в виде “слитого” полипептида (около 30% суммарного клеточного белка) (рис. 5).

Для осуществления регулируемого биосинтеза гибридного белка была сконструирована плазмида pUIL-3-Х α -10 (рис. 3в), экспрессия рекомби-

нантного гена в которой контролируется промотором *Plac*. Плазмида была получена путем замены фрагмента *Bam*H(I(Кленов)-*Xba*I в плазмиде pBTIL-3-Хα-10 на фрагмент *Pvu*II-*Xba*I плазмиды pUC-IL-4 [11], содержащий последовательность промотора *Plac* и дистальную часть RBS гена *10* фага T7. Штамм TG1(pUIL-3-Хα-10) выращивали в среде LB в отсутствие и в присутствии IPTG. Как видно из рис. 5, в отсутствие индуктора синтез гибридного белка незначителен, в то время как в присутствии IPTG уровень его сравним с таковым в описанных выше штаммах.

Таким образом, мы показали, что в клетках *E. coli* может быть получена высокоэффективная цитоплазматическая экспрессия IL-10 в виде "слитого" белка. Проведенные нами предварительные эксперименты по выделению и очистке данного рекомбинантного продукта свидетельствуют, что гомогенный препарат может быть получен с использованием стандартных процедур выделения телец включения путем растворения их в денатурирующих условиях и перевода "слитого" белка в растворимое состояние в условиях, обеспечивающих его ренатурацию. Следовательно, препарат может быть использован для получения зрелого IL-10 человека при протеолитическом расщеплении его протеиназой Хα.

ЭКСПЕРИМЕНТАЛЬНАЯ ЧАСТЬ

Синтез олигонуклеотидов был осуществлен на автоматическом четырехколоночном синтезаторе ДНК фирмы Milligen/Bioscience model 8700 с использованием фосфоамидитного метода. Олигонуклеотиды очищали с помощью ВЭЖХ первоначально на ионообменной колонке (4.6 × 250 мм) Synchropak AX 300 (SynChrom Inc., США) в линейном градиенте концентрации (0 → 0.6 М) сульфата аммония в растворе, содержащем 0.05 М дигидрофосфат калия в 60% формамиде, с последующей обращенно-фазовой хроматографией на колонке (4 × 250 мм) Nucleosil 300-5-C18 (Macherey-Nagel) в градиенте концентрации ацетонитрила (0 → 50%) в 0.1 М ацетате аммония. После хроматографии растворы олигонуклеотидов обессоливали на колонке TSKgel G2000SW (Toyo Soda, Япония).

Фосфорилирование олигонуклеотидов осуществляли с помощью T4-полинуклеотидкиназы (Pharmacia, Швеция).

В работе использован штамм *E. coli* TG1 [18].

Культуры бактериальных клеток выращивали на среде LB или минимальной среде M9 в присутствии казаминовых кислот (0.5%). Продукцию рекомбинантного белка индуцировали добавлением IPTG до концентрации 0.5 mM. Отбирали аликовты неиндуцированных и индуцированных культур и анализировали полученные из них пре-

параты суммарного клеточного белка путем электрофореза в ПААГ в присутствии додецилсульфата натрия.

Все генно-инженерные манипуляции, электрофорез олигонуклеотидов, ДНК и белков в ПААГ, выращивание рекомбинантных штаммов, лизис клеток проводили по стандартным методикам [18] с использованием реактивов фирмы Serva (Германия), рестриктаз и T4-лигазы (Pharmacia, Швеция).

Электрофореграммы гелей окрашивали кумасси R250 и сканировали с использованием сканера гелей, модель CSD-200 (Beckman, США).

Синтез гена *il-10*. Второй блок (18–395): 16 олигонуклеотидов (*i1n1* не фосфорилирован, *i1n2*–*i1n16* фосфорилированы) смешивали (по 20 пмоль каждого) в 100 мкл буфера для лигирования, смесь отжигали, понижая температуру от 85 до 20°C в течение 2 ч, лигировали, затем синтезированную ДНК расщепляли рестриктазой *Pst*I, выделяли фрагмент ДНК второго блока гена *il-10* (378 п.о.) с помощью электрофореза в агарозном геле и клонировали его в векторе pUC18/*Kpn*I–*Pst*I. Третий блок гена *il-10* (94 п.о., последовательность 396–489) синтезировали по аналогичной схеме, используя 4 олигонуклеотида (*i1c1* не фосфорилирован, *i1c2*–*i1c4* фосфорилированы), и клонировали в векторе pUC18/*Pst*I–*Hind*III.

Из полученных клонов выделяли плазмиды pUC18-II и pUC18-III соответственно.

Первичную структуру ДНК клонированных фрагментов определяли по Сэнгеру [19] с использованием α -³³P-меченых стандартных M13-праймеров (прямого и обратного).

Для получения плазмиды pUCspc, содержащей последовательность 18–480 гена *il-10*, фрагмент ДНК (94 п.о.) из плазмиды pUC18-III клонировали по сайтам *Pst*I и *Hind*III в плазмиду pUC18-II.

Для конструирования экспрессионных векторов использовали плазмиду pKK233-2 (Pharmacia, Швеция) и плазмиды из коллекции лаборатории, производные плазмид pKK233-3 и pUC18 (Pharmacia, Швеция) [11, 13].

Плазмиды pKKIL-10 была получена путем лигирования *Kpn*I–*Hind*III-фрагмента гена *il-10* и отожженных олигонуклеотидов *i1n1* (не фосфорилирован) и *i1n2* (фосфорилирован) с вектором pKK233-2/*Nco*I–*Hind*III. Лигазной смесью трансформировали клетки *E. coli* TG1, из полученных клонов выделяли плазмидную ДНК. Наличие вставки ДНК (0.47 т.п.о.) определяли с помощью рестриктаз *Kpn*I и *Hind*III.

При конструировании плазмиды pBTIL-10 вектор pBTIL-3/*Nco*I–*Hind*III, *Kpn*I–*Hind*III-фрагмент гена *il-10* и олигонуклеотиды *i1n1* и *i1n2* лигировали с помощью T4-лигазы. Полученной смесью трансформировали клетки *E. coli* TG1, выделяли

рекомбинантные плазмиды из клонов и анализировали их на наличие вставки ДНК гена *il-10*.

Плазмида pBTIL1L-10, содержащая ген *il-10*, "слитый" с геном лидерного пептида белка OmpF *E. coli*, была сконструирована с использованием вектора pBT-hEGF/*EcoRI-HindIII* [13], *KpnI-HindIII*-фрагмента гена *il-10* и олигонуклеотидов *ilf1* (не фосфорилирован) и *ilf2* (фосфорилирован). При этом сохранялись рамка считывания *il-10* и сайт процессинга белка лидерной пептидазой *E. coli*, но ген *il-10* имел добавочный фрагмент ДНК, кодирующий четыре дополнительные аминокислоты (-Asn-Ser-Gln-Ile-) в N-концевой части белка. Данный фрагмент был ограничен сайтами рестрикта *EcoRI* и *BglII* и при необходимости с помощью этих рестрикта и нуклеазы S1 мог быть детерминирован.

Серия плазмид pBTVar-IL-10-п была получена в результате лигирования вектора pBTIL-10/*BamHI-KpnI* с фрагментом *BamHI-EcoRV* плазмида pTOTE2IL3 [18] и олигонуклеотидов *var1* и *var2*.

Конструирование плазмиды pBTIL-3-10. Плазмиду pBTIL-10 расщепляли рестрикта *EcoRI* и *BamHI* и выделяли вектор, содержащий полную последовательность гена *il-10*. Плазмиду pBTIL-3 расщепляли рестрикта *BamHI* и *HindIII* и выделяли фрагмент *BamHI-HindIII*, включающий последовательности промотора *Ptac*, двух операторных участков связывания *lacZ*-репрессора, RBS гена *10* фага T7 и 5'-концевой фрагмент гена *il-3* (1–179 п.о.). Затем полученные вектор, фрагмент и отожженные олигонуклеотиды *ili1* (фосфорилирован) и *ili2* (не фосфорилирован), содержащие последовательность (180–204 п.о.) гена *il-3* (которая введена для удобства клонирования и имеет сайты необходимых рестрикта), лигировали с помощью T4-лигазы. Лигазной смесью трансформировали клетки *E. coli* TG1, из полученных клонов выделяли плазмидную ДНК и анализировали ее с помощью рестриктного анализа.

Плазмида pBTIL-3-Xα-10. Плазмиду pBTIL-3-10 расщепляли рестрикта *BglII*, обрабатывали нуклеазой S1 и ДНК-полимеразой I *E. coli* (фрагментом Кленова), затем расщепляли рестрикта *EcoRI*. Полученный вектор и олигонуклеотиды *ili3* (не фосфорилирован) и *ili4* (фосфорилирован) лигировали и трансформировали лигазной смесью клетки *E. coli* TG1.

Плазмида pULL-3-Xα-10. Вектор pBTIL-3-Xα-10/*BamHI*(Кленов)-*XbaI* лигировали с фрагментом *PvuII-XbaI* плазмида pUC-IL-4 [11], включающим последовательность промотора *Plac* и дистальную часть RBS гена *10* фага T7.

Структуры всех полученных вариантов гена *il-10* в экспрессионных векторах были подтверждены секвенированием по методу Сэнгера.

Расчет потенциальных вторичных структур мРНК проводили в соответствии с кинетическим алгоритмом [20], реализованным в пакете компьютерных программ DNA-SUN А.А. Мироновым (ГосНИИ "Генетика", Москва).

СПИСОК ЛИТЕРАТУРЫ

1. Fiorentino D.F., Bond M.W., Mosmann T.R. // J. Exp. Med. 1989. V. 170. P. 2081–2095.
2. Moore K.W., O'Garra A., de Waal-Malefyt R., Vieira P., Mosmann T.R. // Annu. Rev. Immunol. 1993. V. 11. P. 165–190.
3. Moore K.W., Vieira P., Fiorentino D.F., Trounstein M.L., Khan T.A., Mosmann T.R. // Science. 1990. V. 248. P. 1230–1234.
4. Rousset F., Garcia E., Defrance T., Perrone C., Hsu D.-H., Kastellein R., Moore K.W., Banchereau J. // Proc. Natl. Acad. Sci. USA. 1992. V. 89. P. 1890–1893.
5. Chen W.-F., Zlotnik A. // J. Immunol. 1991. V. 147. P. 528–534.
6. Thompson-Snipes L., Dhar V., Bond M.W., Mosmann T.R., Moore K.W., Rennick D. // J. Exp. Med. 1991. V. 173. P. 507–510.
7. Go N.F., Castle B.E., Barrett R., Kastellein R., Dang W., Mosmann T.R., Moore K.W., Howard M. // J. Exp. Med. 1990. V. 172. P. 1625–1631.
8. Ho A.S.Y., Liu Y., Khan T.A., Hsu D.H., Bazan J.F., Moore K.W. // Proc. Natl. Acad. Sci. USA. 1993. V. 90. P. 11267–11271.
9. Vieira P., de Waal-Malefyt R., Dang M.-N., Johnson K.E., Kastelein R., Fiorentino D.F., de Vries J.E., Roncarolo M.-G., Mosmann T.R., Moore K.W. // Proc. Natl. Acad. Sci. USA. 1991. V. 88. P. 1172–1176.
10. Andersson S.G.E., Kurland C.G. // Microbiol. Rev. 1990. V. 54. P. 198–210.
11. Птицын Л.Р., Альтман И.Б. // Бюл. эксперим. биологии и медицины. 1995. Т. 59. С. 83–85.
12. Olins P.O., Devine C.S., Rangwala S.H., Kavka K.S. // Gene. 1988. V. 73. P. 227–235.
13. Батчикова Н.В., Альтман И.Б., Луценко С.В., Смирнов В.А., Назимов И.В., Эшкунд Л.Г., Синягина Е.А., Ажаев А.В. // Биоорган. химия. 1992. Т. 18. С. 766–776.
14. Gheysen D., Iserentant D., Derom C. // Gene. 1982. V. 17. P. 55–63.
15. de Smit M.H., van Duin J. // Proc. Natl. Acad. Sci. USA. 1990. V. 87. P. 7668–7672.
16. Loosman A.C., Bodlaender J., Comstoch L.J., Eaton D., Jhurani P., de Boer H.A., van Knippenberg P.H. // EMBO J. 1987. V. 6. P. 2489–2492.
17. Луценко С.В., Гуревич А.И., Птицын Л.Р., Рязанова Л.А., Смирнов В.А., Ажаев А.В. // Биоорган. химия. 1992. Т. 18. С. 391–397.
18. Маниатис Т., Фрич Э., Сэмбрук Дж. Методы генетической инженерии. М.: Мир, 1984.
19. Sanger F., Nicklen S., Coulson A.R. // Proc. Natl. Acad. Sci. USA. 1977. V. 74. P. 5463–5467.
20. Mironov A., Kisler A. // J. Biomolec. Struct. Dyn. 1986. V. 4. P. 1–9.

Expression of the Synthetic Human Interleukin-10 Gene and Its Mutant Variants in *Escherichia coli* Cells

L. R. Ptitsyn, I. B. Al'tman, and M. V. Gurov

Genetika State Research Center, Pervyi Dorozhnyi pr. 1, Moscow, 113545 Russia

Lekbiotekh Research and Technical Center, Biotehnologiya Association, Moscow, 117246 Russia

Abstract—The human interleukin-10 gene was obtained by chemico-enzymatic synthesis, and vectors for cytoplasmic and periplasmic expression of the recombinant IL-10 gene in *Escherichia coli* cells were constructed. Mutant IL-10 genes bearing substitutions in a region upstream of the ATG codon and in the triplet coding for the second amino acid residue in the protein were obtained by *in vitro* mutagenesis. High levels of expression were observed for the fusion protein composed of IL-10 and an N-terminal fragment of IL-3 and for the mutant IL-10 containing cystein as the second amino acid residue.

Key words: *interleukin-10, gene synthesis, expression of mutant forms, producer strain.*